

F4110
Fyzika atomárních soustav
letní semestr 2005 - 2006

IV.
Elektronová optika

KOTLÁŘSKÁ 9. BŘEZNA 2006

Úvodem

- S elektrony lze pracovat v přiblížení geometrické optiky, pokud se pohybují v dostatečně plyných polích
- Na příkladu elektrostatických polí prozkoumáme konstrukci centrovaných soustav v paraxiální aproximaci
- Magnetické čočky jsou ale mnohem zajímavější
- I elektronové optické soustavy trpí vadami zobrazení ... ale na to nedojde

Některé reklamní obrázky

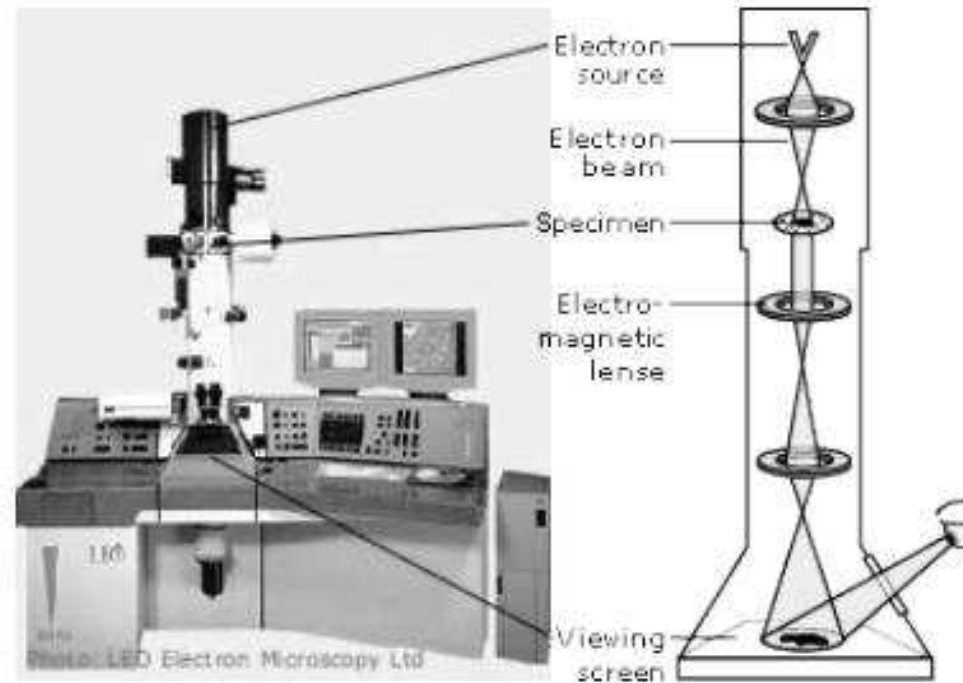
V dnešní době je elektronová mikroskopie standardní a rozšířenou laboratorní technikou.

Variant konstrukce je velký počet.

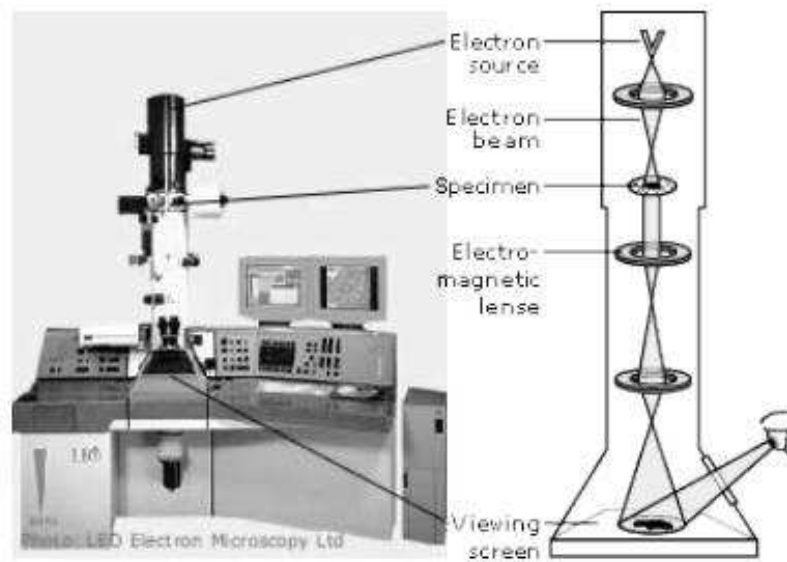
Celý obor se stále rozvíjí. Elektronové svazky se využívají i v technologii, například pro elektronovou litografii.

Běžný stolní přístroj

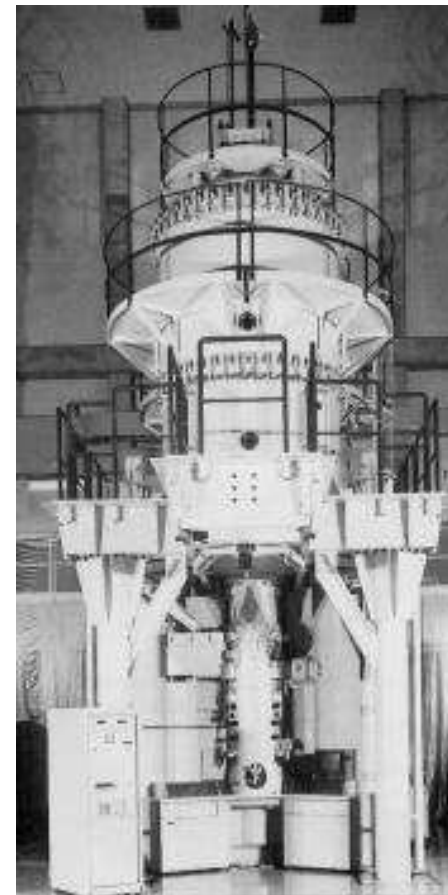
transmisní elektronový mikroskop (TEM)



transmisní elektronový mikroskop (TEM)



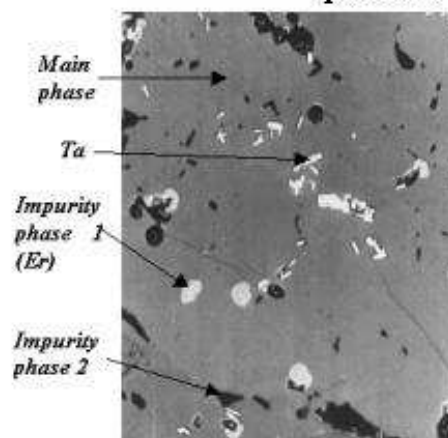
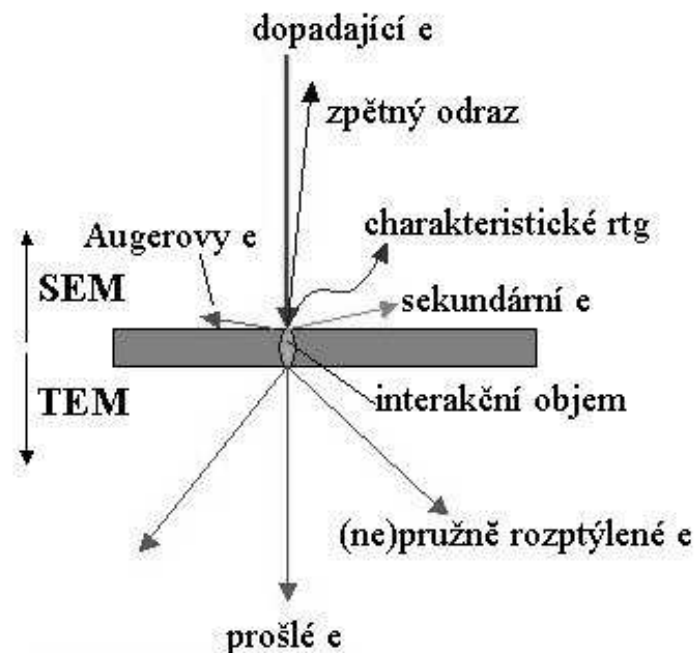
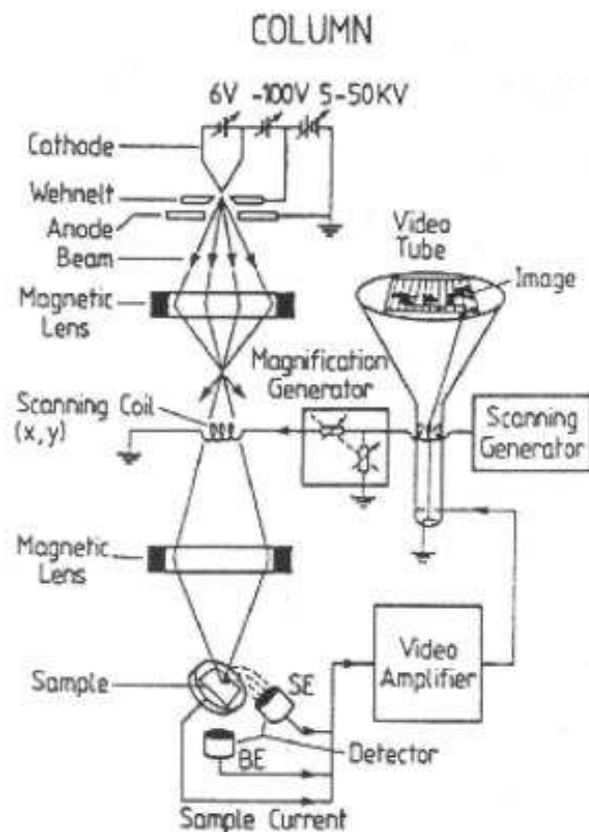
STOLNÍ PŘÍSTROJ
~ 50 000 eV



UNIKÁTNÍ PŘÍSTROJ
~ 1 000 000 eV

Řádkovací elektronový mikroskop: typy zobrazení

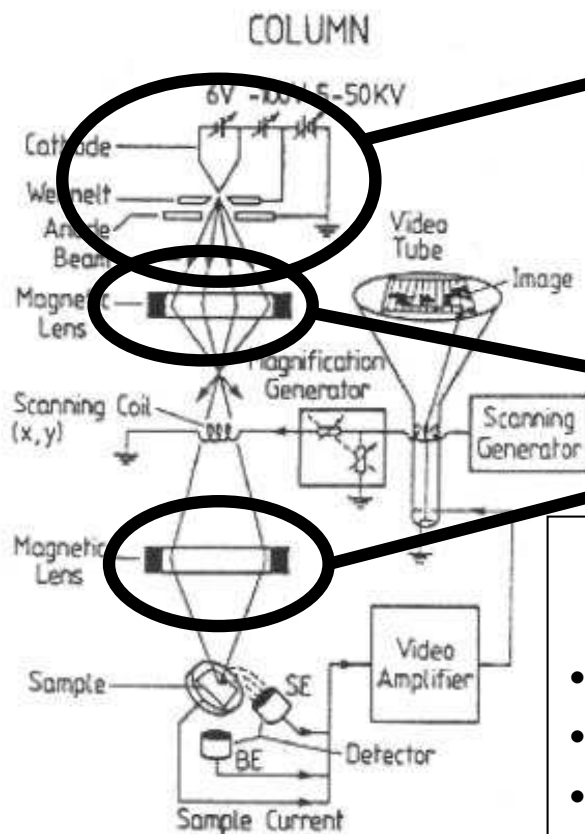
řádkovací elektronový mikroskop
(SEM .. scanning electron microscope)



slitina Cu-Nb-Fe

Řádkovací elektronový mikroskop: náš dnešní úhel pohledu

řádkovací elektronový mikroskop
(SEM .. scanning electron microscope)



ZDROJ ELEKTRONŮ

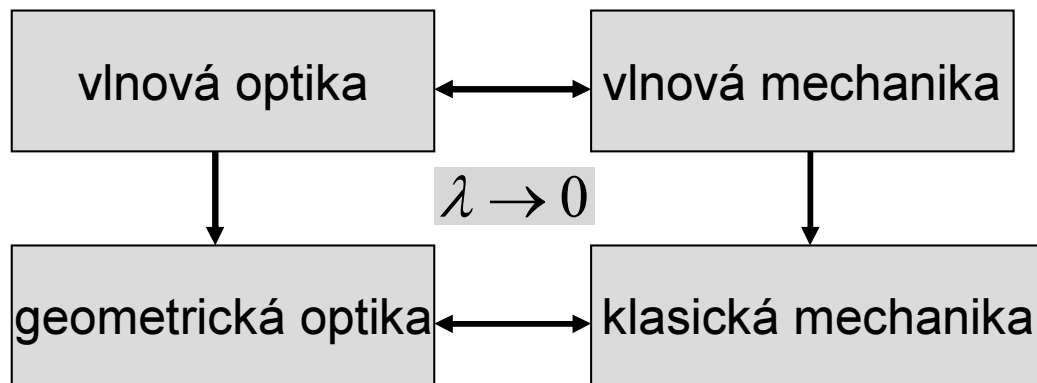
MAGNETICKÉ
ČOČKY

- KONSTRUKCE
- VÝPOČET POLÍ A OPT. VLASTNOSTÍ
- VÝPOČET PAPRSKŮ = DRAH ELEKTRONŮ

Částicová paprsková optika

Využití elektronů pro geometrickou optiku s vysokým rozlišením napadlo lidstvo teprve potom, co vlnové vlastnosti elektronu byly již dobře známy.

Paprsková (geometrická) optika částic



formální srovnání →

paprsky
eikonálová rovnice
sférické čočky

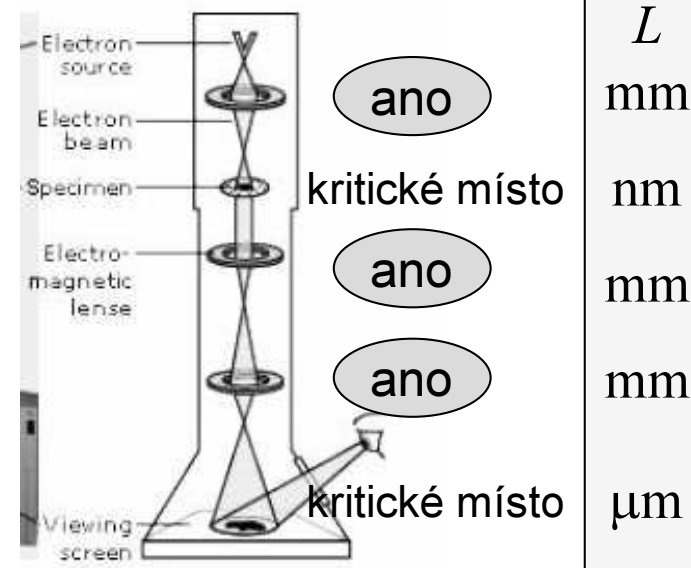
trajektorie
Newtonovy rovnice + vyloučení času
spojité rozložení indexu lomu

formální podmínka

$$\lambda \rightarrow 0$$

znamená přesně

$$\lambda \ll L \text{ (char. délka)}$$



vlnové délky →

Podrobnosti Hamiltonovy analogie

Hamiltonova analogie

optika (geometrická)



klasická mechanika

- paprsky

- trajektorie

- Fermatův princip

- Maupertuis (-Jacobi) princip

$$\delta \int n ds = 0 \quad n \dots \text{index lomu}$$

$$\delta \int v ds = 0 \quad E = U + \frac{1}{2}mv^2$$

$$n = \frac{c}{u} \quad \delta \int \frac{ds}{u} = 0$$

$$v = \sqrt{\frac{2(E - U)}{m}}$$

- Eikonalová rovnice

- Hamilton-Jacobiho rovnice

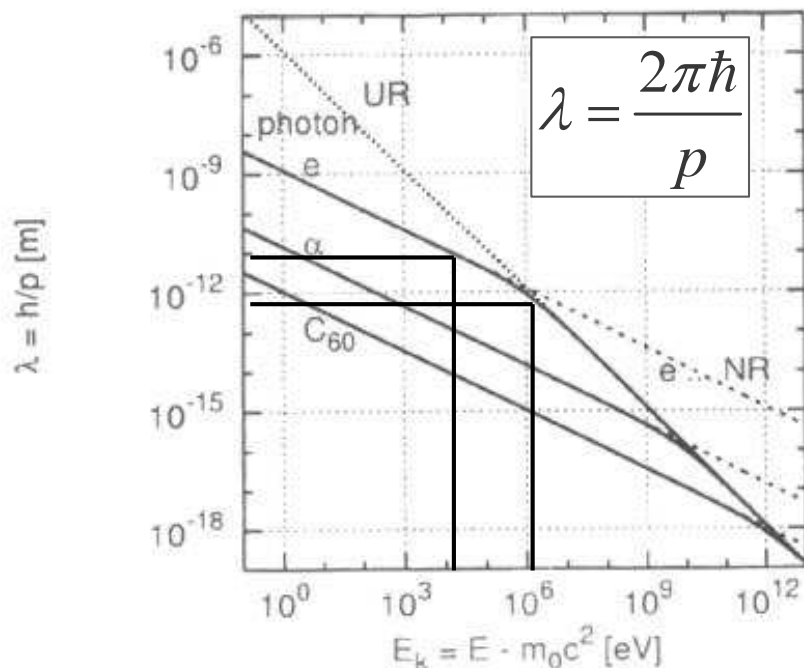
$$(\nabla \mathcal{E})^2 = n^2$$

$$(\nabla \mathcal{S})^2 = n^2$$

přímocháre šíření, zákon odrazu, zákon lomu



Relativistická kinematika a vlnové délky částic



ZÁSOBNÍK VZORCŮ

$$E = mc^2 = \frac{m_0}{\sqrt{1-\beta^2}} c^2, \quad \beta = \frac{v}{c}$$

$$E = m_0 c^2 + E_{\text{kin}}$$

$$p = mv$$

$$p = \sqrt{\frac{E_{\text{kin}}^2}{c^2} + 2m_0 E_{\text{kin}}}$$

LIMITY (explicitní hodnoty platí pro elektrony)

nerelativistická („naše“)

$$E_{\text{kin}} \ll m_0 c^2$$

$$\lambda = \frac{2\pi\hbar}{\sqrt{2m_0 E_{\text{kin}}}} = \frac{1.22}{\sqrt{E_{\text{kin}}}} \text{ (nm, eV)}$$

předěl

$$E_{\text{kin}} \ll 2m_0 c^2$$

$$\approx 10^6 \text{ eV}$$

ultrarelativistická

$$E_{\text{kin}} \gg m_0 c^2$$

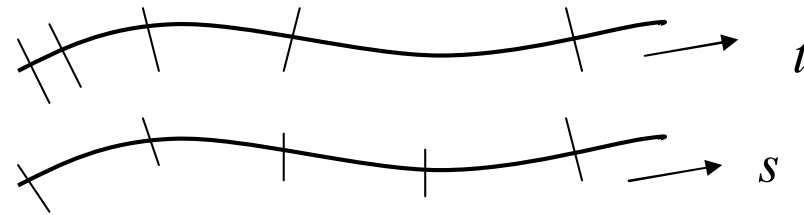
$$\lambda = \frac{2\pi\hbar c}{E_{\text{kin}}} = \frac{1.24}{E_{\text{kin}}} \text{ (\mu m, eV)}$$

Trajektorie ve vnějších polích

trajektorie (probíhána v čase)

paprsek (křivka parametrizovaná
délkou dráhy)

Newtonovy rovnice
(Lorentzova síla)



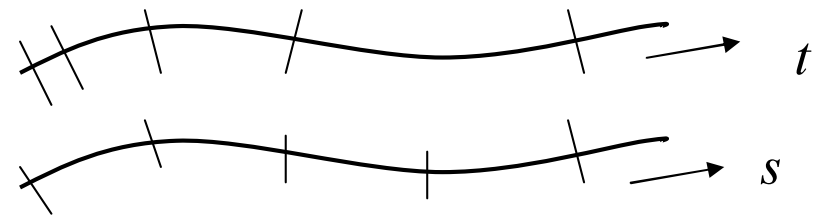
$$\ddot{\mathbf{r}} = \dot{\mathbf{v}} = \frac{e}{m} (\mathbf{E} + \mathbf{v} \times \mathbf{B})$$

Trajektorie ve vnějších polích

trajektorie (probíhána v čase)

paprsek (křivka parametrizovaná délkou dráhy)

Newtonovy rovnice
(Lorentzova síla)



$$\ddot{\mathbf{r}} = \dot{\mathbf{v}} = \frac{e}{m} (\mathbf{E} + \mathbf{v} \times \mathbf{B})$$

zatím vynecháme

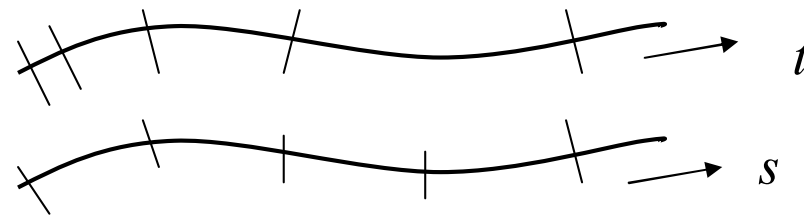
$$\ddot{\mathbf{r}} = \dot{\mathbf{v}} = -\frac{e}{m} \nabla \Phi$$

elektrostatický
potenciál

Trajektorie ve vnějších polích

trajektorie (probíhána v čase)

paprsek (křivka parametrizovaná délkou dráhy)



Newtonovy rovnice
(Lorentzova síla)

$$\ddot{\mathbf{r}} = \dot{\mathbf{v}} = \frac{e}{m} (\mathbf{E} + \mathbf{v} \times \mathbf{B}) \quad \text{zatím vynecháme}$$

$$\ddot{\mathbf{r}} = \dot{\mathbf{v}} = -\frac{e}{m} \nabla \Phi \quad \text{elektrostatický potenciál}$$

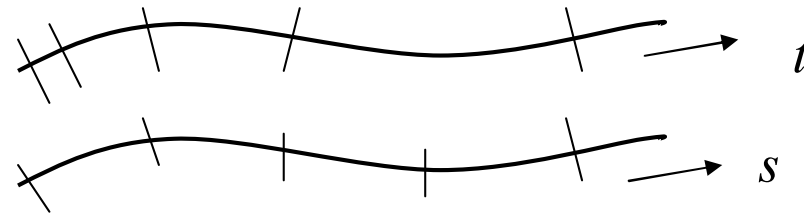
Index lomu pro elektrony

$$\begin{aligned} n(\mathbf{r}) = v(\mathbf{r}) &= \sqrt{\frac{2}{m} (E - U(\mathbf{r}))} \\ &= \sqrt{\frac{2}{m} E - \frac{2e}{m} \Phi(\mathbf{r})} \end{aligned}$$

Trajektorie ve vnějších polích

trajektorie (probíhána v čase)

paprsek (křivka parametrizovaná délkou dráhy)



Newtonovy rovnice
(Lorentzova síla)

$$\ddot{\mathbf{r}} = \dot{\mathbf{v}} = \frac{e}{m} (\mathbf{E} + \mathbf{v} \times \mathbf{B})$$

zatím vynecháme

$$\ddot{\mathbf{r}} = \dot{\mathbf{v}} = -\frac{e}{m} \nabla \Phi$$

elektrostatický
potenciál

Index lomu pro elektrony

$$\begin{aligned} n(\mathbf{r}) = v(\mathbf{r}) &= \sqrt{\frac{2}{m} (E - U(\mathbf{r}))} \\ &= \sqrt{\frac{2}{m} E - \frac{2e}{m} \Phi(\mathbf{r})} \end{aligned}$$

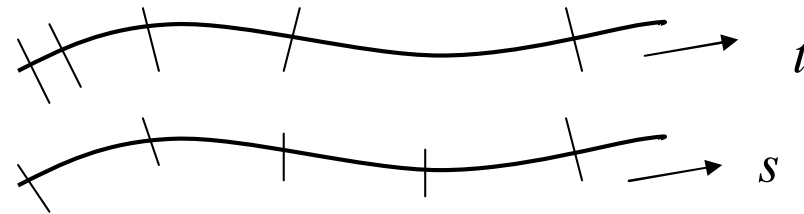
Vyloučení času

$$\frac{d\mathbf{v}}{ds} = \frac{d\mathbf{v}}{dt} \cdot \frac{dt}{ds} = -\frac{e}{m} \nabla \Phi \cdot \frac{1}{v} = \nabla n$$

Trajektorie ve vnějších polích

trajektorie (probíhána v čase)

paprsek (křivka parametrizovaná délkou dráhy)



Newtonovy rovnice
(Lorentzova síla)

$$\ddot{\mathbf{r}} = \dot{\mathbf{v}} = \frac{e}{m} (\mathbf{E} + \mathbf{v} \times \mathbf{B}) \quad \text{zatím vynecháme}$$

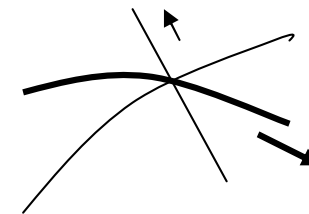
$$\ddot{\mathbf{r}} = \dot{\mathbf{v}} = -\frac{e}{m} \nabla \Phi \quad \text{elektrostatický potenciál}$$

Index lomu pro elektrony

$$\begin{aligned} n(\mathbf{r}) = v(\mathbf{r}) &= \sqrt{\frac{2}{m} (E - U(\mathbf{r}))} \\ &= \sqrt{\frac{2}{m} E - \frac{2e}{m} \Phi(\mathbf{r})} \end{aligned}$$

Vyloučení času

$$\frac{d\mathbf{v}}{ds} = \frac{d\mathbf{v}}{dt} \cdot \frac{dt}{ds} = -\frac{e}{m} \nabla \Phi \cdot \frac{1}{v} = \nabla n$$



diferenciální
tvar
zákona lomu

Teoretický návrh dílů pro elektronovou optiku

Omezíme se na osově symetrickou paraxiální oblast.

Tam je všechno plně zvládnuto.

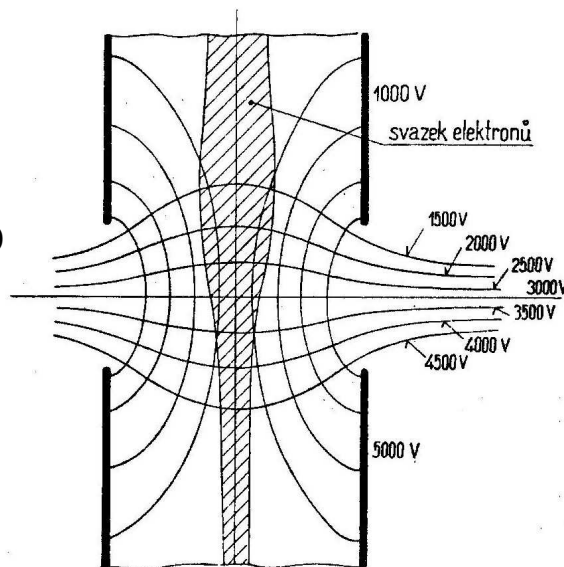
Dva kroky ve studiu optického dílu

PŘÍKLAD: URYCHLOVACÍ SYSTEM

1. KROK: URČENÍ Φ

- ve vakuu
- geometrie kovových elektrod
- potenciály elektrod
- řešení Laplaceovy rovnice při okrajových podmínkách daných elektrodami

vstup



Obr. 131. Urychlovací systém.

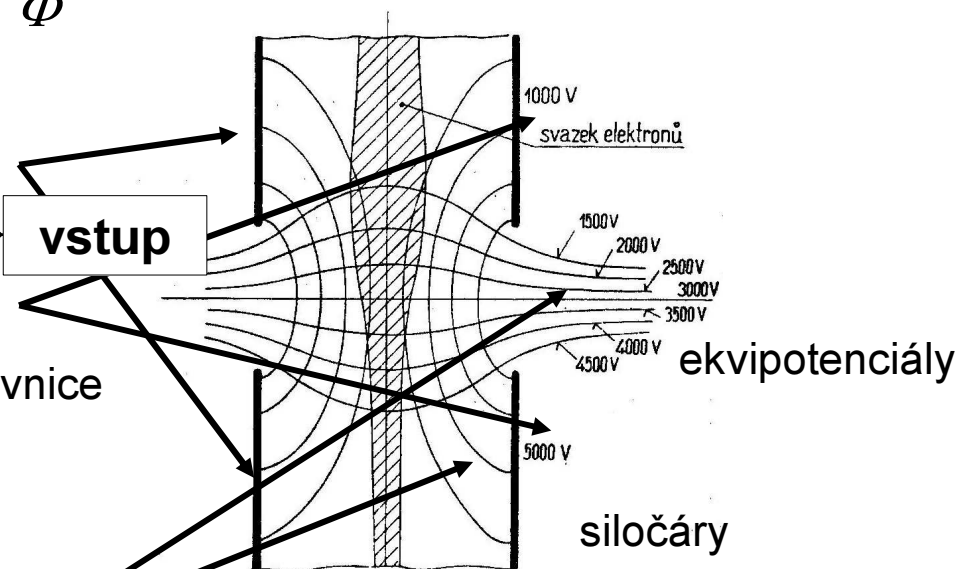
$$\Delta\Phi(\mathbf{r}) = 0$$

Dva kroky ve studiu optického dílu

PŘÍKLAD: URYCHLOVACÍ SYSTÉM

1. KROK: URČENÍ Φ

- ve vakuu
- geometrie kovových elektrod
- potenciály elektrod
- řešení Laplaceovy rovnice při okrajových podmínkách daných elektrodami



Obr. 131. Urychlovací systém.

$$\Delta\Phi(\mathbf{r}) = 0$$

Dva kroky ve studiu optického dílu

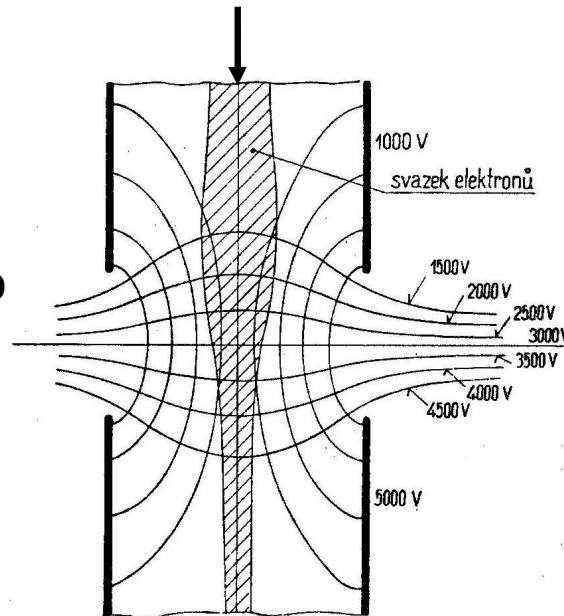
PŘÍKLAD: URYCHLOVACÍ SYSTEM

1. KROK: URČENÍ Φ

- ve vakuu
- geometrie kovových elektrod
- potenciály elektrod
- řešení Laplaceovy rovnice při okrajových podmínkách daných elektrodami

vstup

$$\Delta\Phi(\mathbf{r}) = 0$$



Obr. 131. Urychlovací systém.

2. KROK: TRAJEKTORIE

- blízko osy systému – paraxiální oblast
- vstupní energie E
- výstupní energie $E + 4000 \text{ eV}$
- zlepšená kolimace
- hledání trajektorií
 - buď přímo
 - z paraxiální rovnice + korekce na sférickou vadu

Řešení Laplaceovy rovnice

LAPLACEOVA
ROVNICE

$$\Delta\Phi(\mathbf{r}) = 0$$
$$\partial_{xx}\Phi(x, y, z) + \partial_{yy}\Phi + \partial_{zz}\Phi = 0$$

NUMERICKÉ ŘEŠENÍ

Obecně 3D úloha.
Použití osové symetrie

$$\partial_{rr}\Phi(r, z) + \frac{1}{r}\partial_r\Phi + \partial_{zz}\Phi = 0$$

numerické techniky

metoda sítí

klasický postup:

derivace nahrazeny
diferencemi

dnes překonané

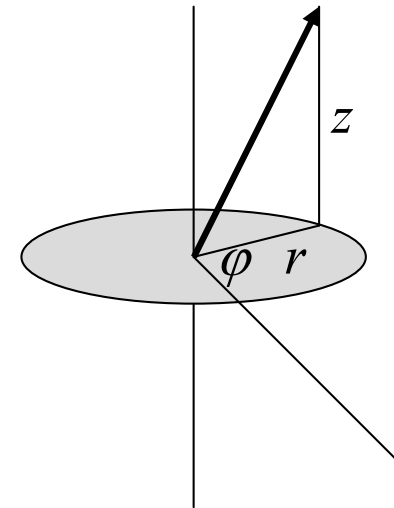
metoda konečných
elementů

triangulace

lineární interpolace

variační princip

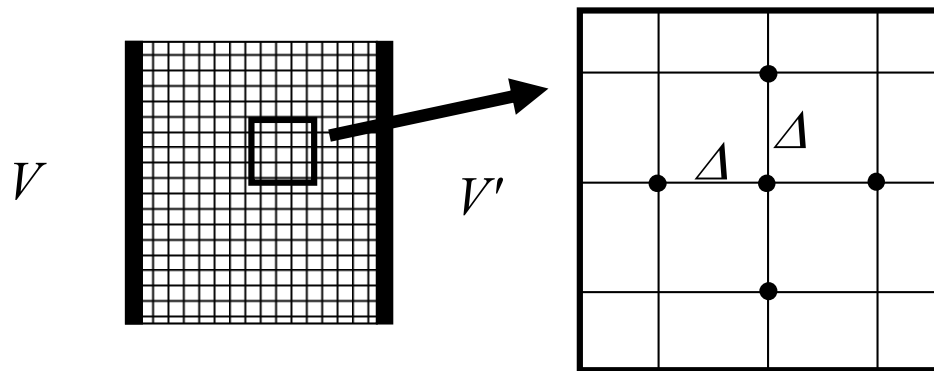
dnes nejrozšířenější



Metoda sítí

Základní myšlenka: nahradit diferenciální rovnici diferenční

$$\Delta\Phi(\mathbf{r}) = 0$$



2D ILUSTRACE

$$x_j = x_0 + j \cdot \Delta$$

$$y_k = y_0 + k \cdot \Delta$$

$$\Phi_{j,k} = \Phi(x_j, y_k)$$

$$\begin{aligned} \Delta\Phi(\mathbf{r}_{jk}) &= \partial_{xx}\Phi(x_j, y_k) + \partial_{yy}\Phi(x_j, y_k) \rightarrow \\ &\approx \frac{\Phi_{j+1,k} - 2\Phi_{j,k} + \Phi_{j-1,k}}{\Delta^2} + \frac{\Phi_{j,k+1} - 2\Phi_{j,k} + \Phi_{j,k-1}}{\Delta^2} \end{aligned}$$

... soustava lineárních rovnic pro $\Phi_{j,k}$

Metoda konečných elementů

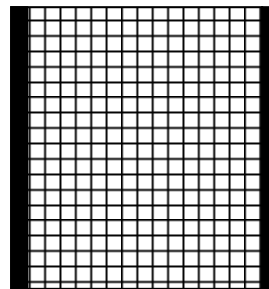
Základní myšlenka: nahradit diferenciální rovnici variační úlohou

$$\Delta\Phi(\mathbf{r}) = 0$$



$$\int dV \nabla\Phi \cdot \nabla\Phi = \text{Min}$$

V



V'

definiční oblast se
rozdělí na buňky

Φ lineární v každé buňce ... má gradient všude až na hrany

soustava lineárních rovnic

... APLIKOVANÁ FUNKCIONÁLNÍ ANALÝSA

Metoda konečných elementů

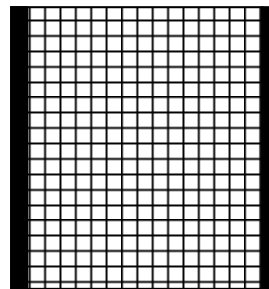
Základní myšlenka: nahradit diferenciální rovnici variační úlohou

$$\Delta\Phi(\mathbf{r}) = 0$$



$$\int dV \nabla\Phi \cdot \nabla\Phi = \text{Min}$$

V



V'

definiční oblast se
rozdělí na buňky

Φ lineární v každé buňce ... má gradient všude až na hrany
soustava lineárních rovnic

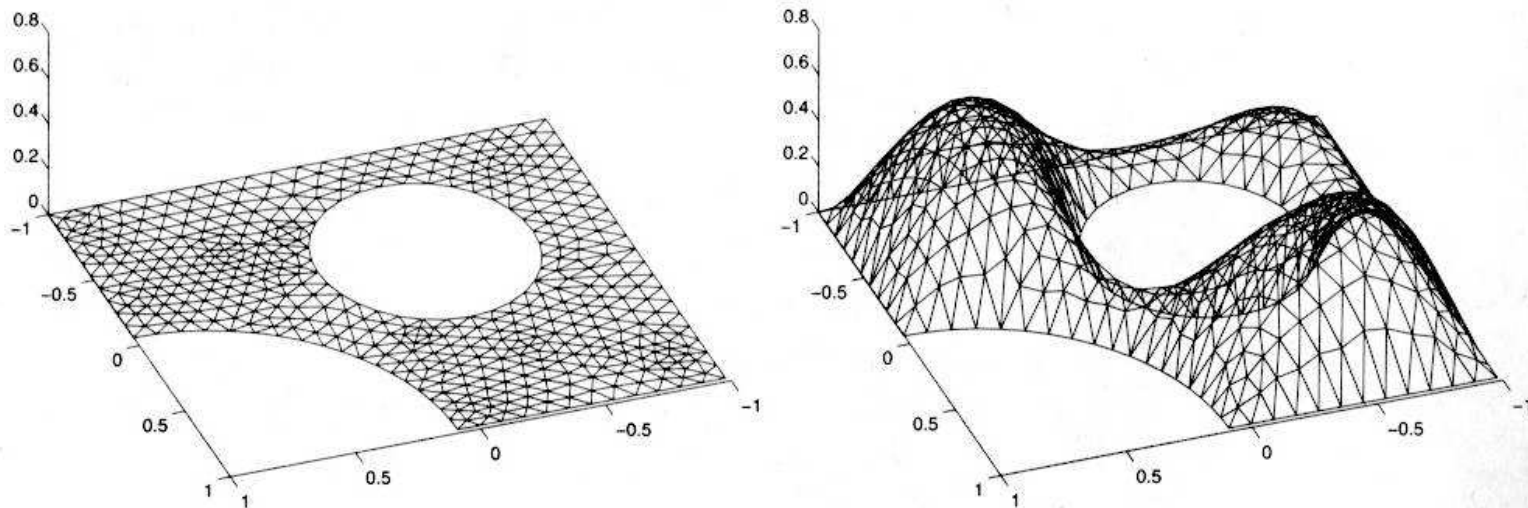
... APLIKOVANÁ FUNKCIONÁLNÍ ANALÝSA

BRNO a metoda FEM ✓ prof. M. Zlámal (1924-1997) a jeho škola na VUT
✓ doc. B. Lencová UPT AV ČR a VUT SPOC

Znázornění triangulace v metodě konečných prvků

Podle Partial Differential Equation Toolbox for use with MATLAB:
User's Guide

This is like using flat tiles to build a waterproof dome, which is perfectly possible.



A Triangular Mesh (left) and a Continuous Piecewise Linear Function on That Mesh

Paraxiální elektronová optika

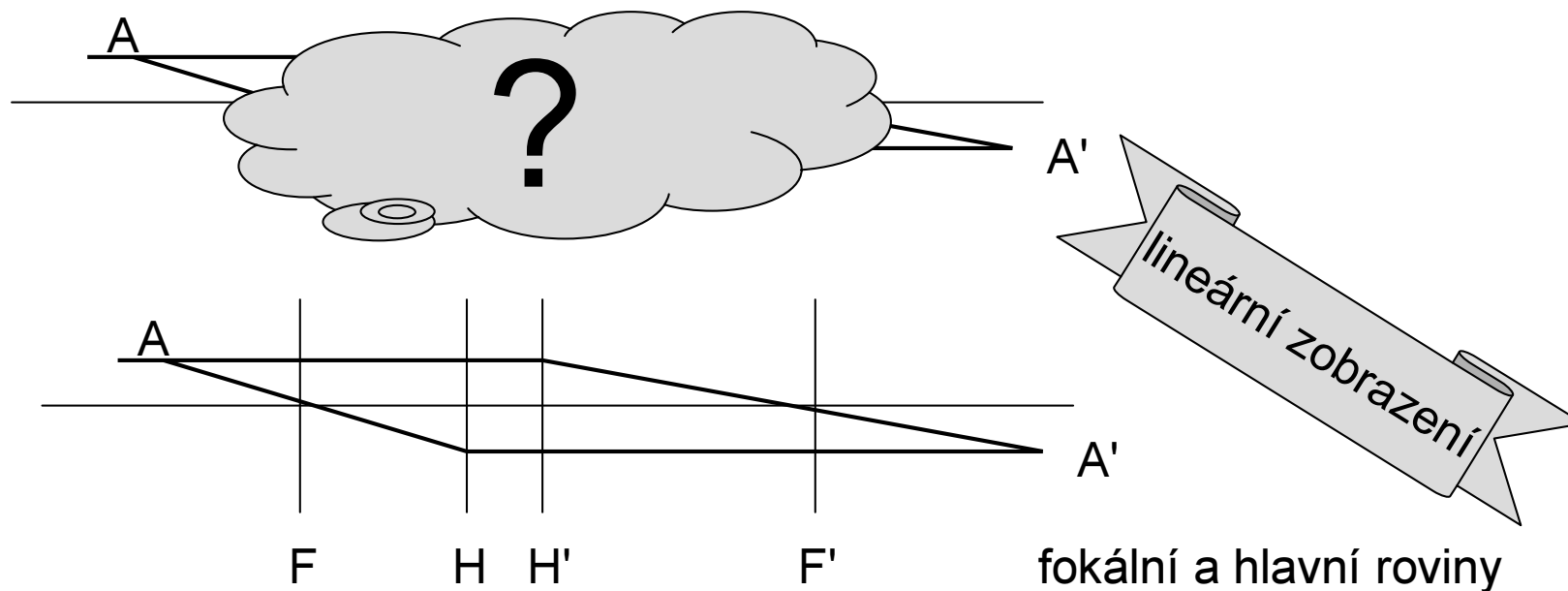
- OSOVĚ SYMETRICKÁ SOUSTAVA ... centrovaná

to byla již r. 1931 idea Rusky a Knolla, od té doby rozpracovávána

- PARAXIÁLNÍ OBLAST

elektronové svazky jen z úzké oblasti kolem optické osy (*nitkový Gaussův prostor*) ... tam dochází k **ideálnímu zobrazování**:

body na body, úsečky na úsečky, roviny na roviny



Realisace paraxiální oblasti

kolem optické osy mají elektrony
volný průchod

$$\Delta\Phi(\mathbf{r}) = 0$$

Laplace

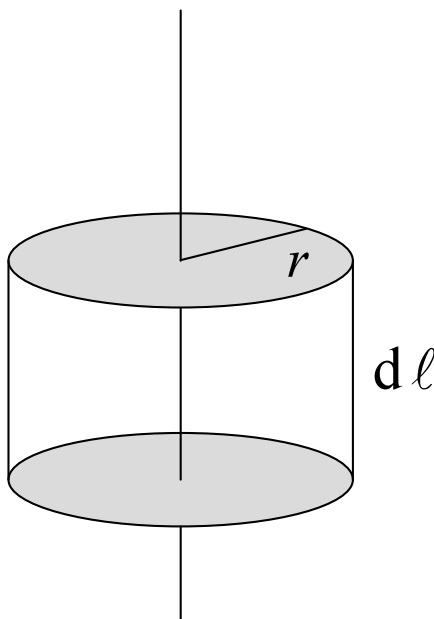


$$\oint d\mathbf{S} \cdot \mathbf{E} = 0$$

Gaussova věta

tok pláštěm

$$2\pi r d\ell \times E_r$$



tok podstavami

$$+ \pi r^2 \times \left(E_z + \frac{\partial}{\partial z} E_z \cdot d\ell \right) \\ - \pi r^2 \times E_z$$

$$E_r = -\frac{r}{2} \times \frac{\partial}{\partial z} E_z(0, z)$$

lineární závislost na r
znamená linearitu
zobrazení

Paraxiální paprsková rovnice

$$\ddot{\mathbf{r}} = \frac{e}{m} \mathbf{E}$$

$$\ddot{z} = \frac{e}{m} E_z(z(t))$$

$$\ddot{r} = \frac{e}{m} E_r(z(t))$$

pole bereme
na ose!!
... paraxiálnost

$$\ddot{r} = -\frac{e}{m} \cdot \frac{r}{2} \times \frac{\partial}{\partial z} E_z(0, z)$$

$$\frac{dr}{dt} = \frac{dr}{dz} \cdot \frac{dz}{dt} \equiv r' \cdot v(z) \quad \longrightarrow \quad v(z) \cdot \frac{d}{dz} \left(v(z) \cdot \frac{dr}{dz} \right) + \frac{e}{m} \cdot \frac{r}{2} \times E'_z(0, z) = 0$$

$$\Phi \cdot r'' + \frac{1}{2} \Phi' \cdot r' + \frac{1}{4} \Phi'' \cdot r = 0, \quad \Phi(z), r(z)$$

PARAXIÁLNÍ ROVNICE

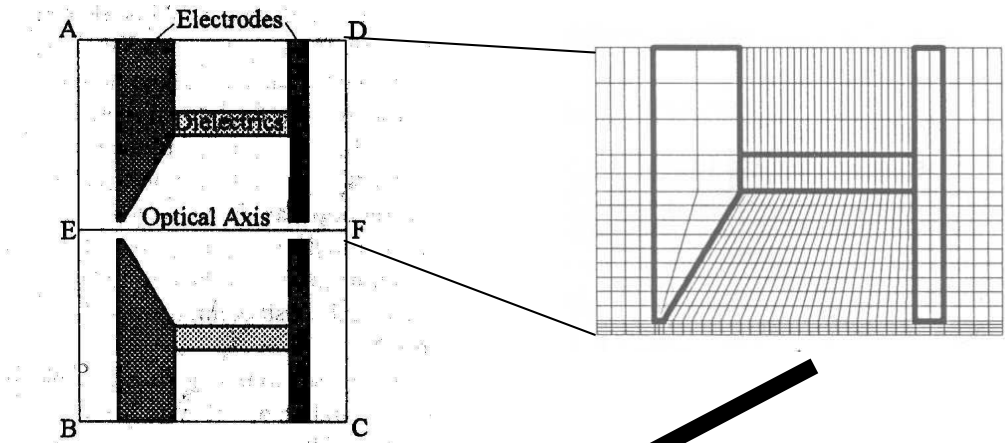
- závisí **jen** na osovém průběhu potenciálu
- nezávisí na specifickém náboji e/m

Ukázky skutečných výpočtů

Kvalita současného zpracování je plně profesionální.

Výpočty tohoto typu zrychlují o řády konstrukční práce.

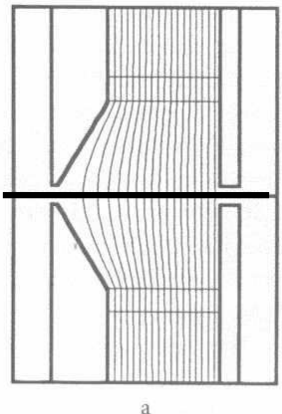
Ukázka výpočtu elektrostatické čočky



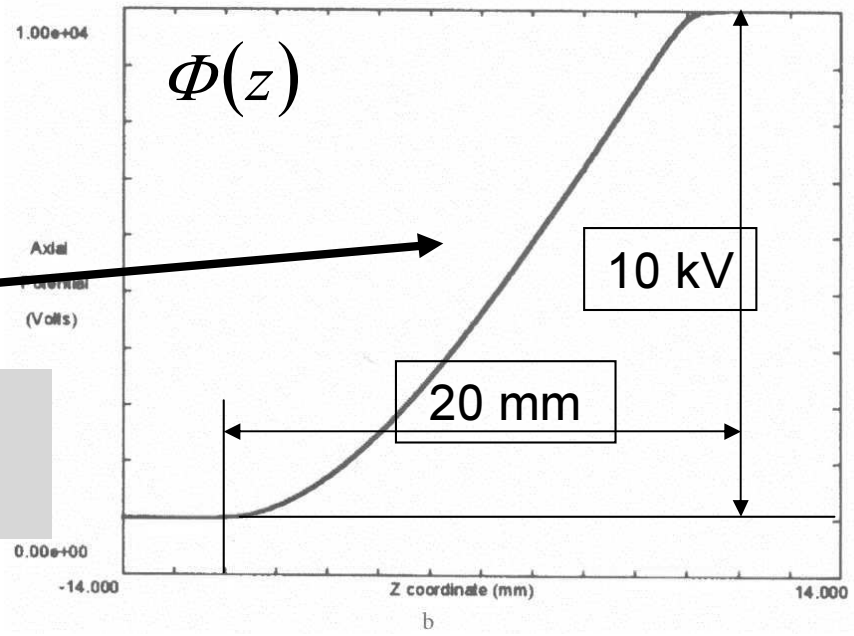
design čočky

grid pro výpočet metodou konečných elementů:
velké oblasti,
jemné dělení

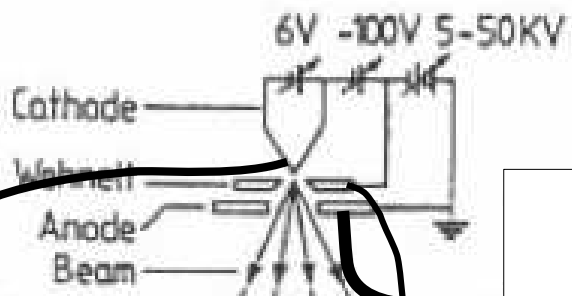
výsledný potenciál



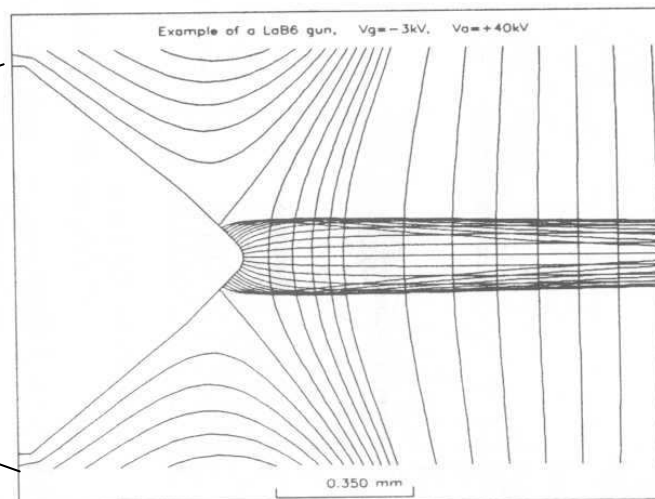
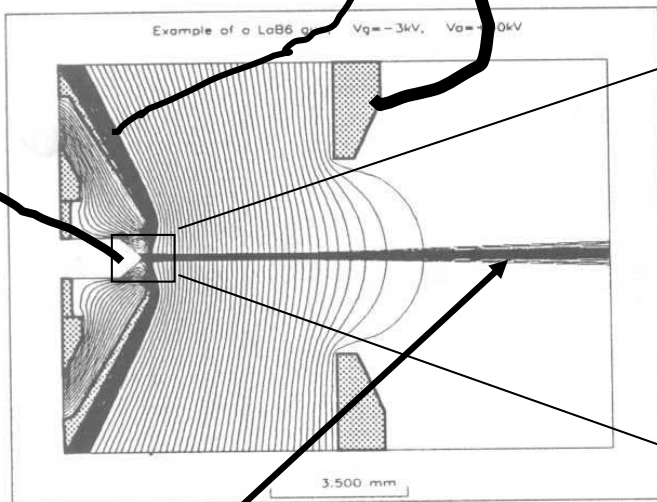
axiální průběh potenciálu



Termoemisní zdroj LaB_6



výsek ze schematu SEM



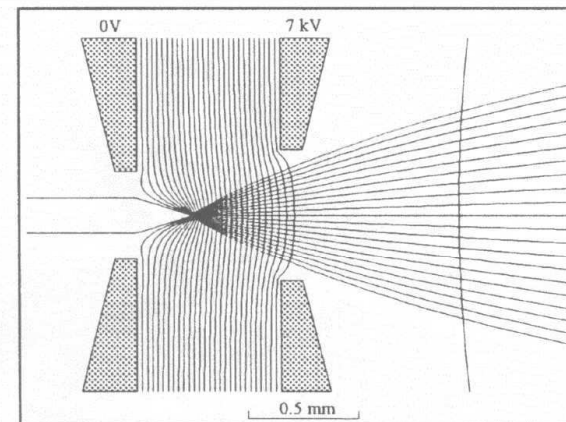
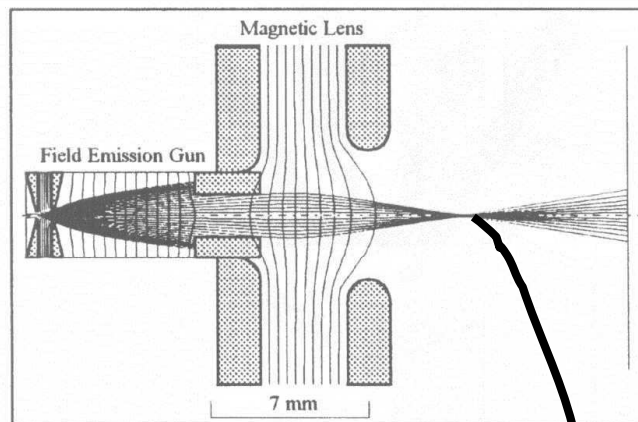
a
FIGURE 73 LaB_6 gun. (a) Overall view

detail

trajektorie

TFE zdroj

TFE (thermofield emission) *kombinuje* termickou emisi ... $T=1800\text{ K}$
se studenou emisi vyvolanou polem řádu 10 keV



kombinace elst. zdroje a
magnetické čočky

a magneti...

detail

toto je téměř bodový zdroj
kolimovaných elektronů

Magnetické čočky

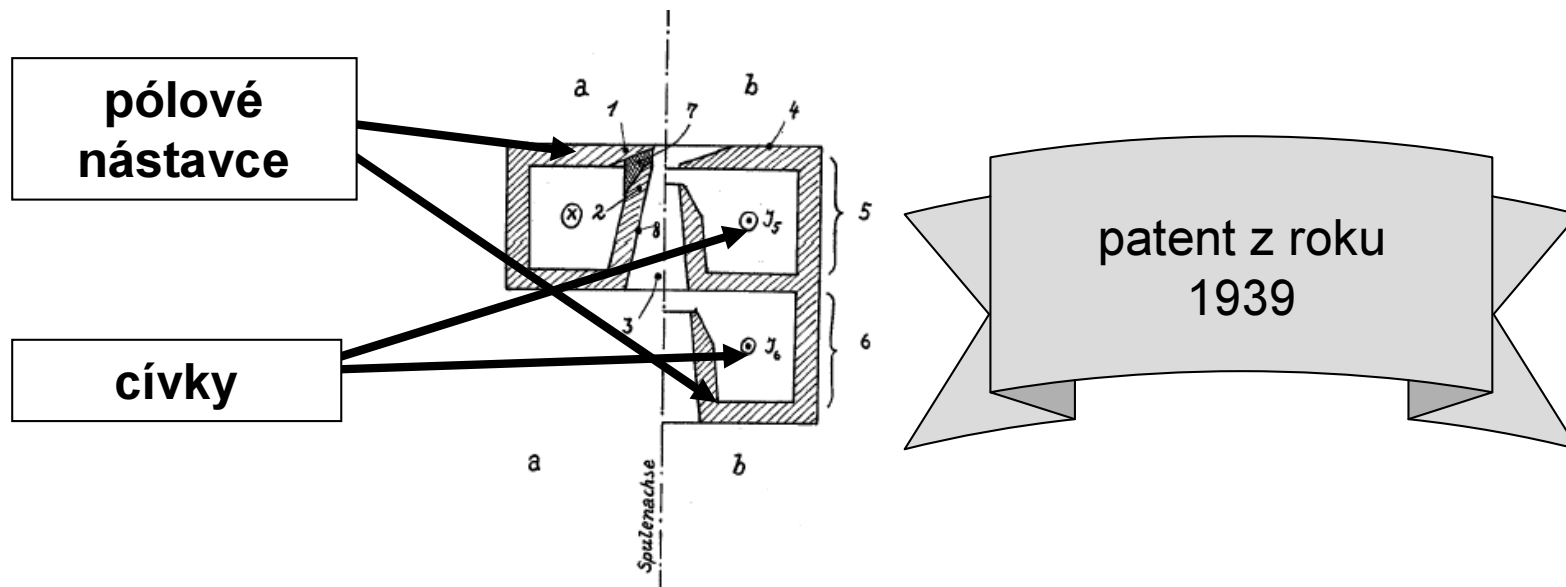
Magnetické čočky a jiné součásti převládají v
praxi.

Jejich pochopení je ale obtížnější.

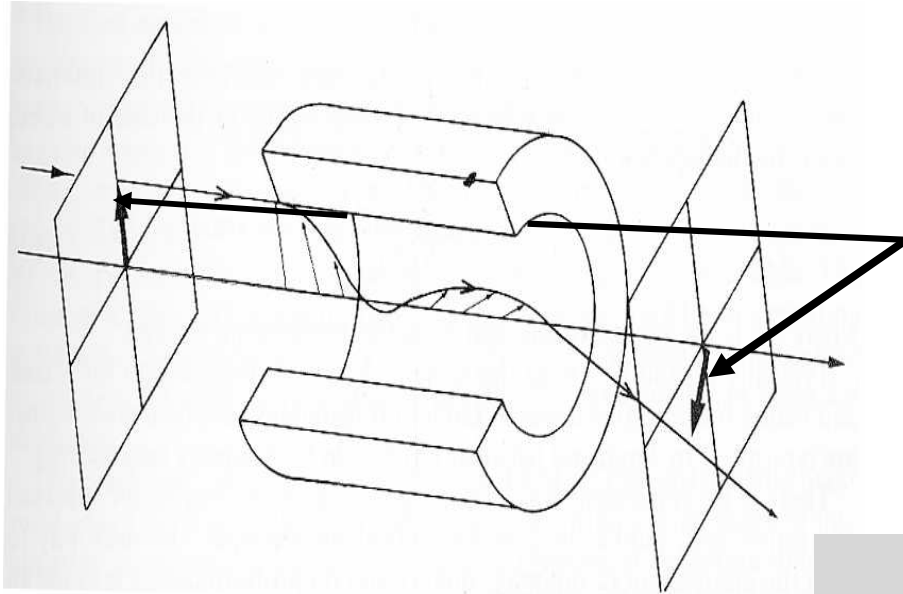
Zde jen několik poznámek.

Magnetická čočka

- má širší použití, než elektrostatická
- přesnější konstrukce, lepší korekce optických vad
- musí se ovšem chladit, atd.
- hlavní výhoda je možnost pólových nastavců z měkkých magnetických materiálů
- to právě vymysleli již praotcové ... *Ruska*



Magnetická čočka: jak funguje



paraxiální oblast

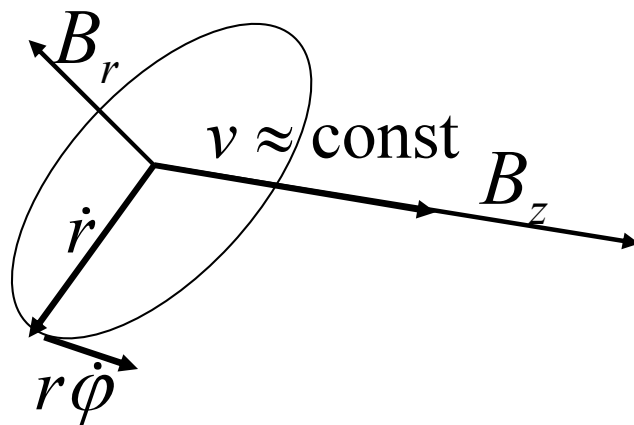
- rovina pohybu se otáčí nezávisle na průvodiči r

$$\dot{\varphi} = \frac{e}{2m} B_z(z)$$

- to ovlivní radiální pohyb

$$r'' + \left(\frac{e}{2m} \cdot \frac{B_z(z)}{v(z)} \right)^2 \times r = 0$$

PARAXIÁLNÍ ROVNICE PAPRSKU

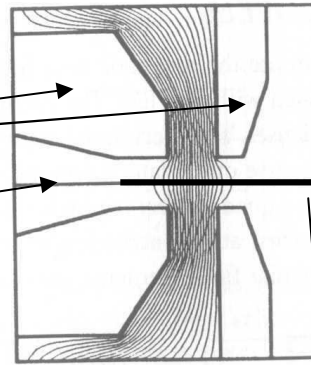


$$\text{div } \mathbf{B} = 0 \Leftrightarrow B_r = -\frac{r}{2} \cdot \frac{\partial B_z}{\partial z} = -\frac{r}{2} \cdot B'_z$$

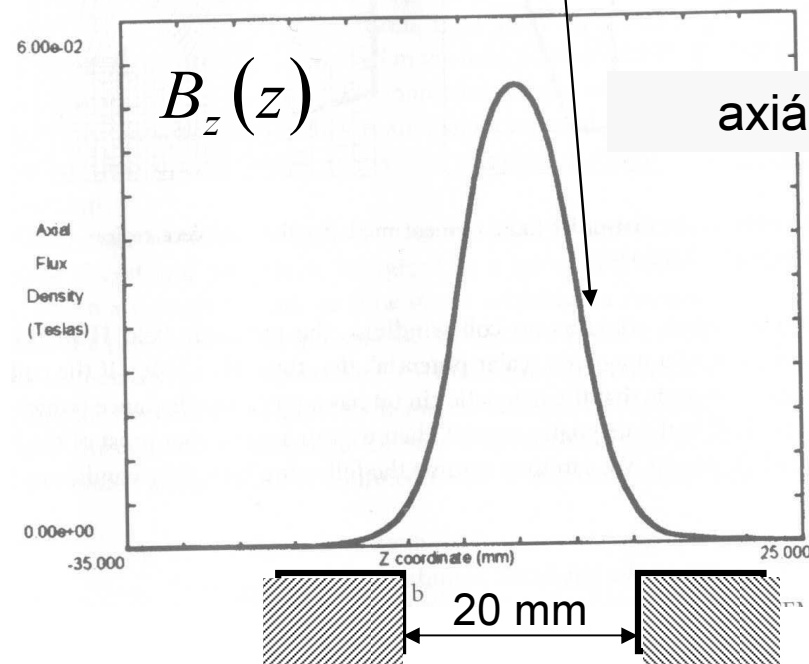
Moderní magnetická čočka

nástavce

pole v dutině



a



Brno a elektronový mikroskop

... tedy

Armin Delong a elektronový mikroskop

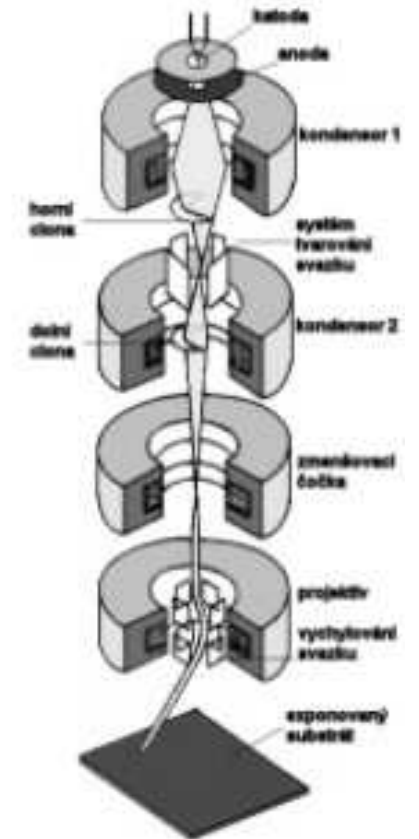
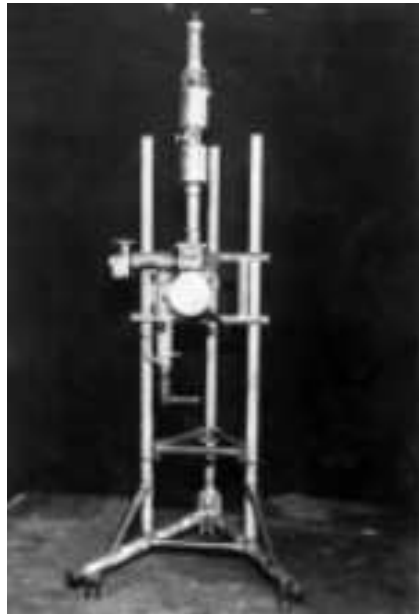


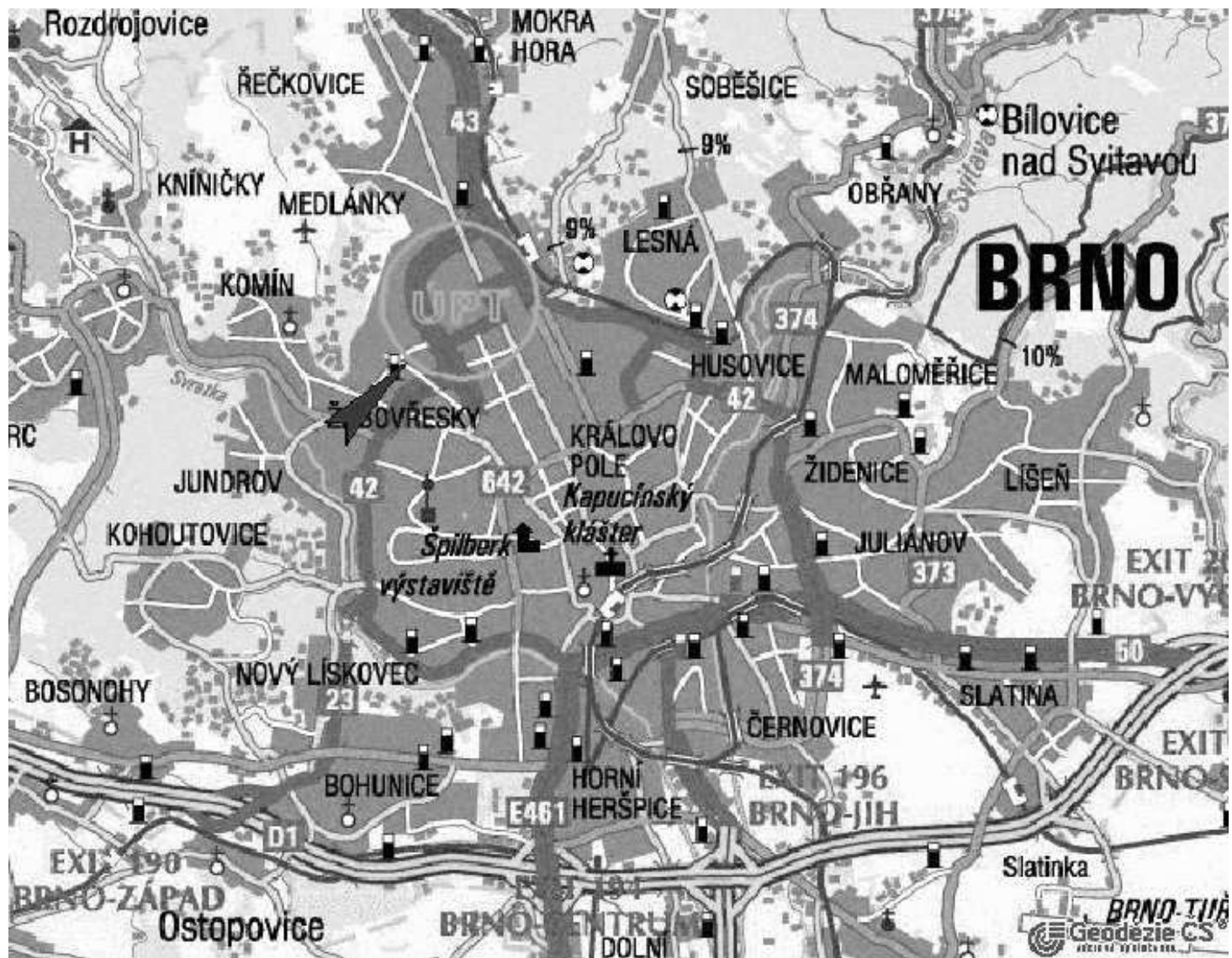
Prof. Armin Delong

hlavní spoluvůrce několika generací čs. elektronových mikroskopů

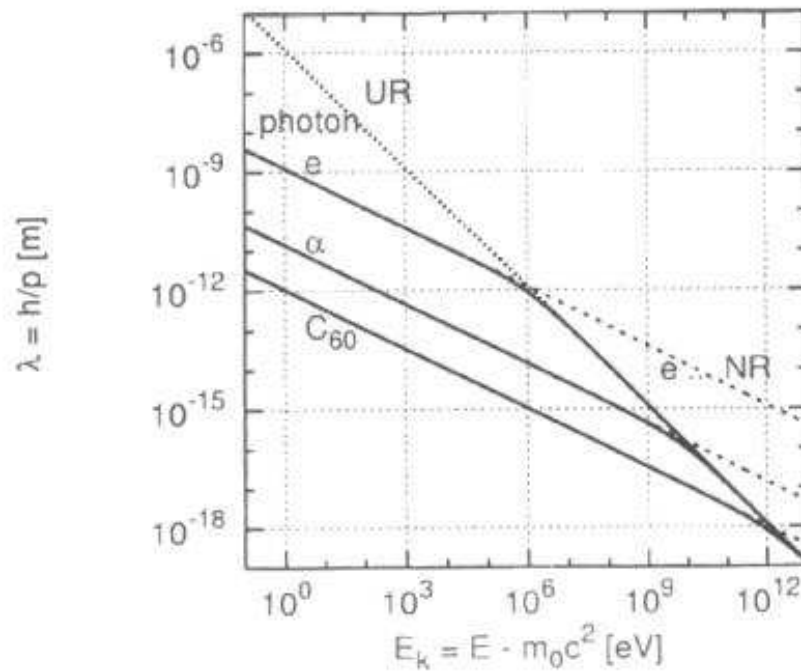
zakladatel a první mnohaletý ředitel Ústavu přístrojové techniky

letošní laureát ceny Česká hlava





The end



$$\text{UR: } \lambda = \frac{hc}{E_k}$$

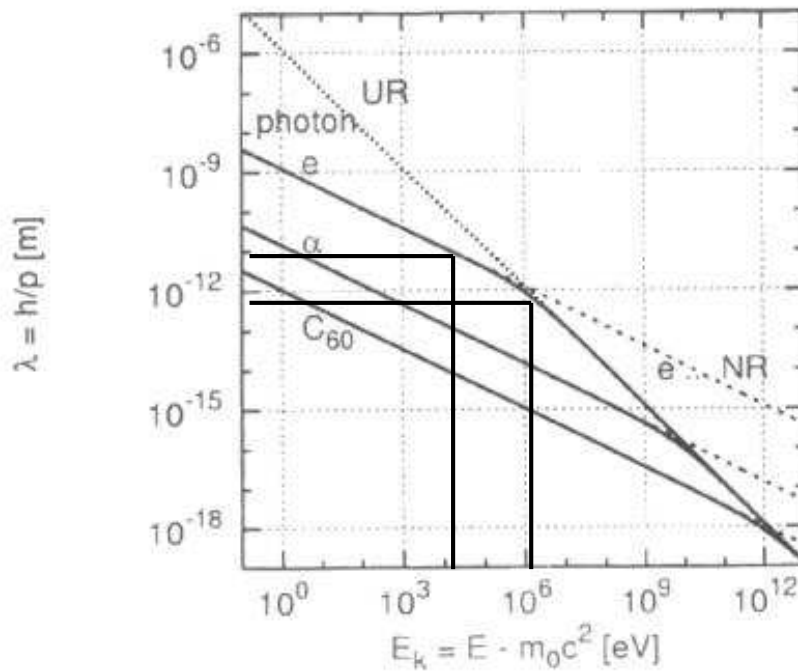
$$\text{NR: } \lambda = \frac{h}{\sqrt{2m_0 E_k}}$$

číselně

UR: $E = 1\text{eV} \leftrightarrow 1.24\ \mu\text{m}$

NR:

částice	m_0	$\frac{h}{\sqrt{2m_0 e }}$
e	m_e	$1.22 \cdot 10^{-9}$
$\alpha = \text{He}^{++}$	$\sim 4u$	$\lambda(\text{nm}) = \sqrt{\frac{1.5}{E_k(\text{eV})}}$ $\left. \vphantom{\lambda(\text{nm})} \right\} 2.9 \cdot 10^{-11} \frac{1}{\sqrt{A}}$
C_{60}	$\sim 720u$	



$$\text{UR: } \lambda = \frac{hc}{E_k}$$

$$\text{NR: } \lambda = \frac{h}{\sqrt{2m_0 E_k}}$$

pro naše odhady
postačuje

číselně

UR: $E = 1\text{eV} \leftrightarrow 1.24 \mu\text{m}$

NR:

částice	m_0	$\frac{h}{\sqrt{2m_0 e }}$
e	m_e	$1.22 \cdot 10^{-9}$
$\alpha = \text{He}^{++}$	$\sim 4u$	$\lambda(\text{nm}) = \sqrt{\frac{1.5}{E_k(\text{eV})}}$ $\left. \vphantom{\lambda(\text{nm})} \right\} 2.9 \cdot 10^{-11} \frac{1}{\sqrt{A}}$
C_{60}	$\sim 720u$	